

УДК 621.315.592

© 1991

**ПРОСТРАНСТВЕННОЕ РАСПРЕДЕЛЕНИЕ,  
НАКОПЛЕНИЕ И ОТЖИГ  
РАДИАЦИОННЫХ ДЕФЕКТОВ В КРЕМНИИ,  
ИМПЛАНТИРОВАННОМ ВЫСОКОЭНЕРГЕТИЧНЫМИ ИОНАМИ  
АРГОНА И НИКЕЛЯ**

*B. C. Вариченко, A. M. Зайцев, H. A. Куделевич, A. P. Челядинский*

Рентгенодифракционным методом в режиме двухкристального рентгеновского спектрометра исследованы пространственное распределение, накопление и отжиг радиационных дефектов в кремнии, имплантированном ионами аргона (46.3 МэВ) и никеля (6 МэВ). Сублинейный характер накопления дефектов свидетельствует о гомогенном характере дефектообразования в кремнии при внедрении тяжелых высокоэнергетических ионов, при этом в аннигиляции участвуют в основном изолированные дефекты. Результаты по эффективности введения устойчивых радиационных дефектов говорят в пользу того, что механизмами дефектообразования являются упругие и неупругие взаимодействия.

Возможность создания заглубленных слоев, а также многослойных структур в полупроводниках путем высокоэнергетической ионной имплантации требует детального исследования специфики дефектообразования, пространственного распределения нарушений и их отжига. В данной работе эти вопросы рассмотрены на кремнии, имплантированном ионами  $\text{Ar}^+$  с энергией 46.3 МэВ и  $\text{Ni}^+$  с энергией 6 МэВ при плотности тока ионов 0.18 и 1.0  $\text{мкА} \cdot \text{см}^{-2}$  соответственно. Исследования выполнены методом двухкристального рентгеновского спектрометра на излучении  $\text{CuK}\alpha_1$  в четвертом порядке отражения от плоскостей (111). Точность определения изменения периода решетки кремния в результате имплантации ионов составляла  $\pm 1 \cdot 10^{-5} \text{ \AA}$ .

На рис. 1 представлен характер изменения периода решетки  $\Delta a$  в имплантированных слоях в зависимости от дозы ионов  $\text{Ni}^+$  (кривая 1) и аргона (кривая 2);  $\Delta a$  определялось по угловому расстоянию между максимумами отражения от слоя и подложки. Необходимо отметить, что в случае ионов  $\text{Ar}^+$  дифракционные максимумы от слоя внедрения по интенсивности соизмеримы с максимумами от подложки и являются достаточно узкими ( $\sim 25''$ ), свидетельствующими о том, что нарушенный слой содержит участок с достаточно равномерным распределением дефектов по глубине. Распределение радиационных дефектов по глубине слоя кремния, имплантированного ионами  $\text{Ar}^+$ , представлено на рис. 2 для доз ионов  $3 \cdot 10^{14}$  (1) и  $3 \cdot 10^{15} \text{ см}^{-2}$  (2). Кривые 1, 2 получены путем измерения периода решетки при послойном контролируемом стравливании слоев. По измеренному значению  $\Delta a$  в слое относительно подложки, полагая, что величина смещений атомов в области превалирующих радиационных дефектов составляет  $0.2 \text{ \AA}$ <sup>[1]</sup>, рассчитана концентрация дефектов. Кривая 3 теоретического распределения по глубине устойчивых нарушений построена на кривой потерь энергии на упругие взаимодействия, рассчитанной методом Монте-Карло<sup>[2]</sup>, и предположения, что из всех образовавшихся вакансий 5 % образуют устойчивые комплексы<sup>[3]</sup>.

Восстановление решетки кремния, имплантированного высоконергетическими ионами  $Ni^+$  и  $Ar^+$  в процессе изохронного отжига, показано на рис. 3 (кривые 1 и 2 соответственно). Для сравнения приведена кривая 3 изохронного отжига кремния, имплантированного ионами  $Si^+$  с энергией 200 кэВ.

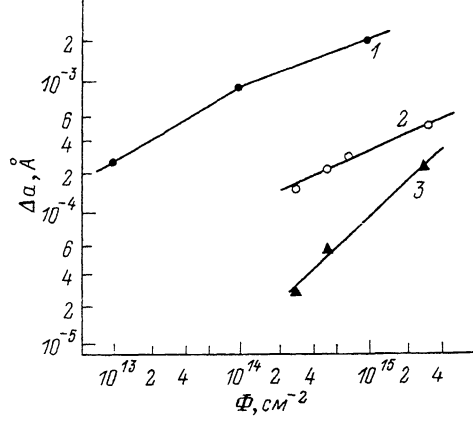


Рис. 1. Изменение периода решетки кремния  $\Delta a$  в зависимости от дозы ионов  $\Phi$ .  
1 —  $Ni^+$ ,  $E=6$  МэВ; 2 —  $Ar^+$ ,  $E=46.3$  МэВ; 3 —  $Ar^+$ , за счет дефектов, отжигающихся на стадии 2.

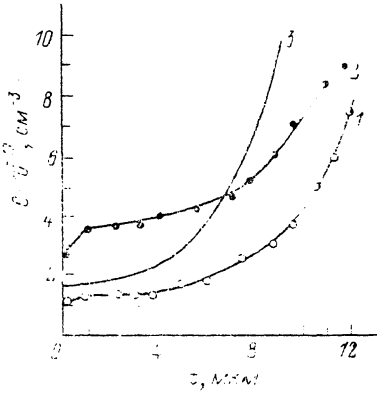


Рис. 2. Распределение радиационных дефектов по глубине в кремнии, имплантированном ионами  $Ar^+$ ,  $E=46.3$  МэВ.  
1 —  $3 \cdot 10^{14}$ , 2 —  $3 \cdot 10^{15}$  см $^{-2}$ , 3 — расчет.

Поскольку тяжелые ионы  $Ni^+$  в конце пробега образуют аморфный слой, то изменение периода решетки (рис. 1, 1) относится к приповерхностному слою, т. е. слою, лежащему от поверхности до аморфного. В случае  $Ar^+$  приведенные изменения периода решетки от дозы ионов (рис. 1) и в процессе отжига (рис. 3) относятся в основном к приповерхностному однородному по концентрации дефектов слою толщиной  $\sim 4 \div 5$  мкм. Как видно из рис. 1, накопление радиационных дефектов носит сублинейный характер; в области доз ионов  $Ni^+$  от  $10^{13}$  до  $10^{14}$  см $^{-2}$   $\Delta a \sim \Phi^{0.6}$ .

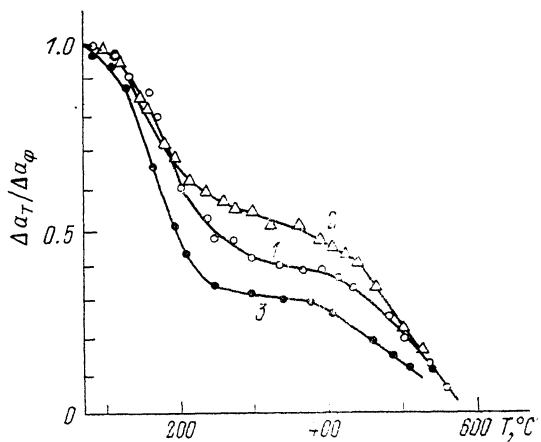


Рис. 3. Восстановление периода решетки кремния, имплантированного ионами, в процессе изохронного отжига.

1 —  $Ni^+$ , 2 —  $Ar^+$ , 3 —  $Si^+$ ,  $E$  (МэВ),  $\Phi$  (см $^{-2}$ ): 1 — 6,  $1 \cdot 10^{14}$ ; 2 — 46.3,  $3 \times 10^{15}$ ; 3 — 200,  $1 \cdot 10^{14}$ .

Для ионов  $Ar^+$   $\Delta a \sim \Phi^{0.5}$ . При обычных энергиях имплантации (десятки, сотни кэВ) при комнатных температурах сублинейное накопление дефектов характерно только для легких ионов [4]. Сублинейный характер накопления нарушений связан с аннигиляцией вновь возникающих подвижных вакансий и междуузельных атомов кремния с ранее введенными устойчивыми дефектами.

Как видно из рис. 3 (кривые 1, 2), восстановление периода решетки кремния, имплантированного  $Ni^+$  и  $Ar^+$ , в процессе изохронного отжига протекает в две стадии: 1) 100—300 и 2) 400—600 °C. Аналогичным образом отжигаются собственные радиационные дефекты в кремнии, облученном ионами  $Si^+$  обычных энергий (кривая 3). Как установлено в ра-

боте [5], первая стадия восстановления периода решетки обусловлена отжигом преимущественно дивакансий, на второй стадии отжигаются многовакансационные комплексы, образующиеся в областях скоплений в результате перестройки дефектов при термообработке. В работе [5] установлено, что в кремнии при имплантации образуются в соизмеримых концентрациях с вакансационными дефектами устойчивые междоузельные комплексы двух типов, отжигающиеся соответственно при 120–140 и 500–600 °С. Однако эти дефекты непосредственно не проявляются в изменении периода решетки кремния. Сублинейное накопление нарушений (рис. 1, кривые 1, 2) свидетельствует в пользу гомогенного характера дефектообразования, т. е. имеет место образование в большей степени простых изолированных дефектов, чем их скоплений. Какие же из дефектов преимущественно аннигилируют при имплантации: изолированные или дефекты, сосредоточенные в областях скоплений? На рис. 3 показано изменение периода решетки в зависимости от дозы ионов  $\text{Ar}^+$  за счет дефектов, ответственных за стадию отжига 2 (кривая 3). Как видно, их концентрация растет с дозой по зависимости, близкой к линейной, т. е. в аннигиляции участвуют преимущественно изолированные дефекты.

Высокий уровень ионизации при имплантации может приводить к захвату дефектами неравновесных носителей, преимущественно электронов как более подвижных. Захват на вакансии преимущественно неравновесных электронов наблюдался в работе [6], где исследовалось влияние зарядового состояния вакансий на температуру их отжига. При генерировании неравновесных носителей заряда электроны захватываются также на междоузельные атомы Si, что установлено в экспериментах по изучению закономерностей вытеснения атомов бора из узлов решетки кремния (замещение по Воткинсу) [7]. Если ранее введенные устойчивые дефекты вакансационного и междоузельного типа и возникающие при облучении подвижные вакансии и междоузельные атомы будут одноименно заряжены, то кулоновское взаимодействие будет препятствовать аннигиляционным процессам. Однако, как следует из наших экспериментов, для изолированных дефектов это не реализуется. В случае же областей скоплений дефектов нет необходимости захвата носителей на каждый дефект. Носители захватываются на внешнюю оболочку областей скоплений дефектов, и возникающий пространственный заряд препятствует проникновению в область скоплений одноименно заряженных подвижных вакансий и междоузельных атомов.

Экспериментальные значения распределения нарушений в приповерхностном слое кремния, облученном ионами  $\text{Ar}^+$  дозой  $3 \cdot 10^{14} \text{ см}^{-2}$ , как видно из рис. 2, вблизи поверхности (до 4 мкм) близки теоретическим значениям. С увеличением глубины концентрация радиационных дефектов становится заметно ниже расчетной. Это прогрессирующее с глубиной несоответствие экспериментальных и теоретических значений может быть объяснено аннигиляционными процессами. Действительно, интенсивность аннигиляции должна увеличиваться с ростом концентрации устойчивых дефектов, т. е. с глубиной. Близость же экспериментальных и теоретических значений у поверхности не может однако быть доказательством того, что основным механизмом дефектообразования являются потери энергии высокоэнергетичного иона на упругие взаимодействия. Действительно, накопление дефектов носит сублинейный характер и при дозе  $3 \cdot 10^{15} \text{ см}^{-2}$  экспериментальные значения (кривая 3 на рис. 2) значительно ниже расчетных (для дозы ионов  $\text{Ar}^+ 3 \cdot 10^{15} \text{ см}^{-2}$  расчетную кривую 2 необходимо умножить на 10). Для доз же ниже  $3 \cdot 10^{14} \text{ см}^{-2}$  в силу этих же причин экспериментальные кривые должны быть выше теоретических. Т. е. необходимо признать существование дополнительного механизма дефектообразования. Высокий уровень ионизационных потерь (для иона  $\text{Ar}^+$  с энергией 46.3 МэВ отношение электронной тормозной способности к ядерной составляет  $5 \cdot 10^2$ ) позволяет предположить, что дополнительное образование дефектов происходит за счет кулоновского расталкивания ионизированных атомов — кулоновского взрыва [8].

Таким образом, из полученных результатов следует, что при внедрении в кремний тяжелых высокоэнергетических ионов имеет место сублинейное накопление радиационных дефектов, свидетельствующее о преимущественно гомогенном характере дефектообразования, при этом в аннигиляции участвуют в основном изолированные дефекты. Механизмами дефектообразования являются как упругие, так и неупругие взаимодействия.

Авторы признательны А. Ю. Дидыку, В. А. Скуратову и Ё. Линднеру за помощь при проведении высокоэнергетической имплантации.

#### С п и с о к л и т е р а т у р ы

- [1] Жевно А. Н., Сидорик В. В., Ткачев В. Д. // ДАН БССР. 1976. Т. 20. № 5. С. 409—411.
- [2] Ziegler J. F., Biersack J. P., Littmark U. The Stopping and Range of Ions in Solids. Pergamon Press, 1985. V. 1. 321 p.
- [3] Жуковский П. В., Стельмах В. Ф., Ткачев В. Д. // ФТП. 1978. Т. 12. № 9. С. 1812—1814.
- [4] Dennis J. R., Hale E. B. // Rad. Eff. 1985. V. 30. P. 219—225.
- [5] Berezhnov N. I., Stelmakh V. F., Chelyadinskii A. R. // Phys. Stat. Sol. (a). 1983. V. 78. N 2. P. 123—125.
- [6] Barnes C. E. // IEEE Trans. Nucl. Sci. 1969. V. 16. N 1. P. 28—33.
- [7] Бережнов Н. И., Супрун-Белевич Ю. Р., Челядинский А. Р. // Тез. докл. XII Всес. конф. по физике полупроводников. Киев, 1990. Ч. I. С. 274.
- [8] Флейшер Р. Л., Прайс П. Б., Уокер Р. М. Треки заряженных частиц в твердых телах. Принципы и изложения. Ч. I. М.: Энергоиздат, 1981. 152 с.

Белорусский государственный университет  
Минск

Поступило в Редакцию  
9 апреля 1991 г.